

---

Хмельник С. И.

# Электромагнитная волна в диэлектрической и магнитной цепи переменного тока

## Аннотация

Предлагается решение уравнений Максвелла для диэлектрической и магнитной цепи переменного тока. Рассматривается структура токов и потоков энергии.

## Оглавление

### Часть 1. Диэлектрическая цепь

#### 1.1. Введение

#### 1.2. Решение уравнений Максвелла

#### 1.3. Напряженности и потоки энергии

#### 1.4. Обсуждение

### Часть 2. Магнитная цепь

#### 2.1. Введение

#### 2.2. Решение уравнений Максвелла

#### 2.3. Напряженности и потоки энергии

#### 2.4. Обсуждение

### Часть 3. Приложения

#### Приложение 1

#### Приложение 2

#### Приложение 3

## Часть 1. Диэлектрическая цепь

### 1.1. Введение

В [1] рассматривается электромагнитное поле в вакууме. Очевидным образом полученное там решение распространяется на непроводящую – диэлектрическую среду с определенными  $\epsilon$ ,  $\mu$  - диэлектрической и магнитной проницаемостью. Следовательно, электромагнитное поле существует и в конденсаторе. Однако существенным отличием конденсатора является то, что его поле имеет ненулевую электрическую напряженность по одной из координат, создаваемую внешним источником. При рассмотрении

электромагнитного поля в вакууме отсутствие внешнего источника постулировалось.

Точно также можно говорить о диэлектрической цепи переменного тока. Далее рассматривается система уравнений Максвелла для такой цепи. Показывается, что в такой цепи также возникает электромагнитная волна. Важным отличием этой волны от волны в вакууме является то, что в первой имеется продольная электрическая напряженность, создаваемая внешним источником энергии.

Здесь рассматриваются уравнения Максвелла в системе СГС следующего вида (как и в [1], но с отличными от единицы величинами  $\varepsilon$ ,  $\mu$ ):

$$\operatorname{rot}(E) + \frac{\mu}{c} \frac{\partial H}{\partial t} = 0, \quad (1)$$

$$\operatorname{rot}(H) - \frac{\varepsilon}{c} \frac{\partial E}{\partial t} = 0, \quad (2)$$

$$\operatorname{div}(E) = 0, \quad (3)$$

$$\operatorname{div}(H) = 0, \quad (4)$$

где  $H$ ,  $E$  - магнитная и электрическая напряженности соответственно.

## 1.2. Решение системы уравнений

Рассмотрим решение системы уравнений Максвелла (1.1-1.4). В системе цилиндрических координат  $r$ ,  $\varphi$ ,  $z$  эти уравнения имеют вид:

$$\frac{E_r}{r} + \frac{\partial E_r}{\partial r} + \frac{1}{r} \cdot \frac{\partial E_\varphi}{\partial \varphi} + \frac{\partial E_z}{\partial z} = 0, \quad (1)$$

$$\frac{1}{r} \cdot \frac{\partial E_z}{\partial \varphi} - \frac{\partial E_\varphi}{\partial z} = v \frac{dH_r}{dt}, \quad (2)$$

$$\frac{\partial E_r}{\partial z} - \frac{\partial E_z}{\partial r} = v \frac{dH_\varphi}{dt}, \quad (3)$$

$$\frac{E_\varphi}{r} + \frac{\partial E_\varphi}{\partial r} - \frac{1}{r} \cdot \frac{\partial E_r}{\partial \varphi} = v \frac{dH_z}{dt}, \quad (4)$$

$$\frac{H_r}{r} + \frac{\partial H_r}{\partial r} + \frac{1}{r} \cdot \frac{\partial H_\varphi}{\partial \varphi} + \frac{\partial H_z}{\partial z} = 0, \quad (5)$$

$$\frac{1}{r} \cdot \frac{\partial H_z}{\partial \varphi} - \frac{\partial H_\varphi}{\partial z} = q \frac{dE_r}{dt} \quad (6)$$

$$\frac{\partial H_r}{\partial z} - \frac{\partial H_z}{\partial r} = q \frac{dE_\varphi}{dt}, \quad (7)$$

$$\frac{H_\varphi}{r} + \frac{\partial H_\varphi}{\partial r} - \frac{1}{r} \cdot \frac{\partial H_r}{\partial \varphi} = q \frac{dE_z}{dt} \quad (8)$$

где

$$v = -\mu/c, \quad (9)$$

$$q = \varepsilon/c, \quad (10)$$

- электрические напряженности  $E_r$ ,  $E_\varphi$ ,  $E_z$ ,
- магнитные напряженности  $H_r$ ,  $H_\varphi$ ,  $H_z$ .

Решение должно быть найдено при ненулевой напряженности  $E_z$ .

Для сокращения записи в дальнейшем будем применять следующие обозначения:

$$co = \cos(\alpha\varphi + \chi z + \omega t), \quad (11)$$

$$si = \sin(\alpha\varphi + \chi z + \omega t), \quad (12)$$

где  $\alpha$ ,  $\chi$ ,  $\omega$  – некоторые константы. Представим неизвестные функции в следующем виде:

$$H_r = h_r(r)co, \quad (13)$$

$$H_\varphi = h_\varphi(r)si, \quad (14)$$

$$H_z = h_z(r)si, \quad (15)$$

$$E_r = e_r(r)si, \quad (16)$$

$$E_\varphi = e_\varphi(r)co, \quad (17)$$

$$E_z = e_z(r)co, \quad (18)$$

где  $h(r)$ ,  $e(r)$  - некоторые функции координаты  $r$ .

Непосредственной подстановкой можно убедиться, что функции (13-18) преобразуют систему уравнений (1-8) с четырьмя аргументами  $r$ ,  $\varphi$ ,  $z$ ,  $t$  в систему уравнений с одним аргументом  $r$  и неизвестными функциями  $h(r)$ ,  $e(r)$ .

В приложении 1 показано, что такое решение существует. Это решение имеет следующий вид:

$$e_\varphi(r) = kh(\alpha, \chi, r), \quad (20)$$

$$e_r(r) = \frac{1}{\alpha} (e_\varphi(r) + r \cdot e'_\varphi(r)), \quad (21)$$

$$e_z(r) = r \cdot e_\varphi(r)q/\alpha, \quad (22)$$

$$h_\varphi(r) = -\frac{\varepsilon\omega}{\chi c} e_r(r), \quad (23)$$

$$h_r(r) = \frac{\varepsilon\omega}{\chi c} e_\varphi(r), \quad (24)$$

$$h_z(r) \equiv 0. \quad (25)$$

где  $\text{kh}()$  – функция, определенная в приложении 2,

$$q = \left( \chi - \frac{\mu\varepsilon\omega^2}{c^2\chi} \right). \quad (26)$$

Сравним это решение и решение, полученное для вакуума в [1] – см. табл. 1 в разделе 2.2. Видно существенное отличие этих решений.

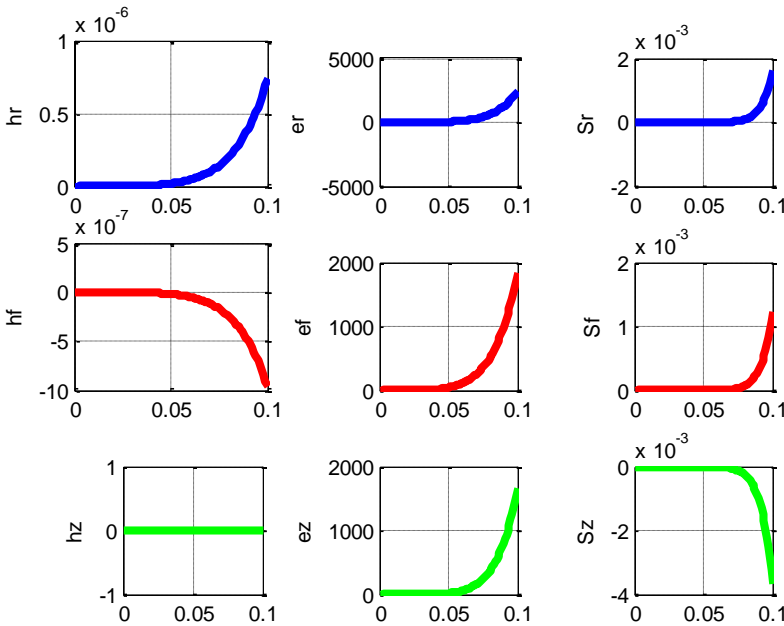


Fig.1. (SSB6(3).m)

### 1.3. Напряженности и потоки энергии

Также, как и в [1], плотности потоков энергии по координатам определяются по формуле

$$\bar{S} = \begin{bmatrix} \bar{S}_r \\ \bar{S}_\varphi \\ \bar{S}_z \end{bmatrix} = \eta \iint_{r,\varphi} \begin{bmatrix} s_r \cdot si^2 \\ s_\varphi \cdot si \cdot co \\ s_z \cdot si \cdot co \end{bmatrix} dr \cdot d\varphi. \quad (1)$$

где

$$\begin{aligned}
 s_r &= (e_\varphi h_z - e_z h_\varphi) \\
 s_\varphi &= (e_z h_r - e_r h_z), \\
 s_z &= (e_r h_\varphi - e_\varphi h_r) \\
 \eta &= c/4\pi.
 \end{aligned}
 \tag{2}$$

Рассмотрим функции (2) и  $e_r(r)$ ,  $e_\varphi(r)$ ,  $e_z(r)$ ,  $h_r(r)$ ,  $h_\varphi(r)$ ,  $h_z(r)$ . На рис. 1 показаны, например, графики этих функций при  $A=1$ ,  $\alpha=5.5$ ,  $\mu=1$ ,  $\varepsilon=2$ ,  $\chi=50$ ,  $\omega=300$ .

## 1.4. Обсуждение

Дальнейшие выводы аналогичны тем, которые получены в [1]. Итак, в диэлектрической цепи и, в частности, в конденсаторе, включенных в цепь синусоидального тока распространяется электромагнитная волна, а математическое описание этой волны является решением уравнений Максвелла. При этом напряженности, ток смещения и поток энергии распространяются в диэлектрике по спиральной траектории.

# Часть 2. Магнитная цепь

## 2.1. Введение

В части 1 рассматривается электромагнитное поле в диэлектрической цепи переменного тока. Точно также можно рассмотреть электромагнитное поле в магнитной цепи переменного тока. Простейшим примером такой цепи является соленоид переменного тока. Однако, если в диэлектрической цепи имеется продольная электрическая напряженность, создаваемая внешним источником энергии, то в магнитной цепи имеется продольная магнитная напряженность, создаваемая внешним источником энергии и передаваемая в цепь обмоткой соленоида.

Здесь также рассматриваются уравнения Максвелла, показанные в части 1 – см. (1.1.1-1.1.4).

## 2.2. Решение системы уравнений

В части 1 показано, что системе цилиндрических координат  $r$ ,  $\varphi$ ,  $z$  эти уравнения имеют вид (1.2.1-1.2.18). Здесь решение должно быть найдено при ненулевой напряженности  $H_z$ . При этом функции  $h(r)$ ,  $e(r)$  принимают другой вид. Аналогично

предыдущему можно показать, что и в этом случае решение **существует**. Оно имеет следующий вид:

$$e_z(r) \equiv 0, \quad (20)$$

$$h_\varphi(r) = kh(\alpha, \chi, r), \quad (21)$$

$$h_r(r) = -\frac{1}{\alpha}(h_\varphi(r) + r \cdot h'_\varphi(r)), \quad (22)$$

$$h_z(r) = r \cdot h_\varphi(r)q / \alpha, \quad (23)$$

$$e_\varphi(r) = \frac{\mu\omega}{\chi c} h_r(r), \quad (24)$$

$$e_r(r) = -\frac{\mu\omega}{\chi c} h_\varphi(r). \quad (25)$$

Сравним это решение и решение, полученное в части 1 – см. табл. 1. Видна схожесть этих решений.

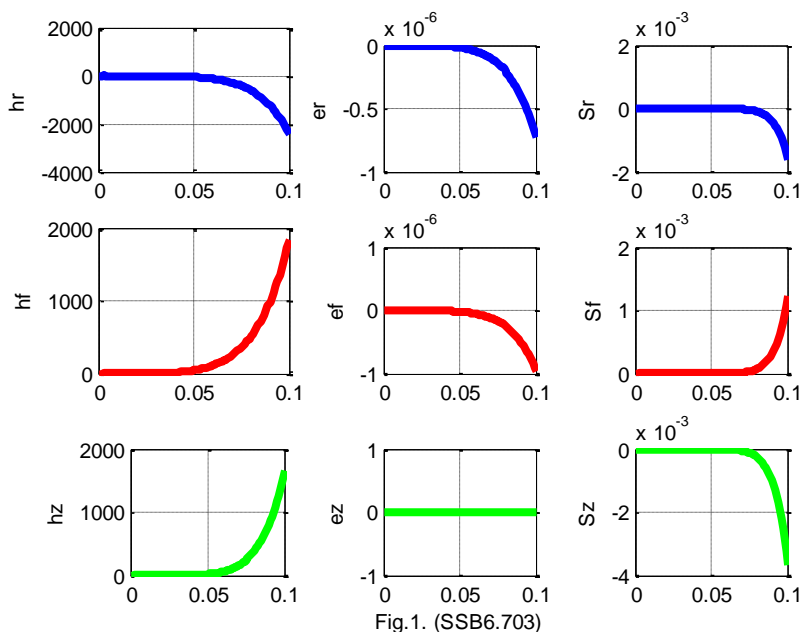
Таблица 1.

	Вакуум	Диэлектрическая цепь	Магнитная цепь
$e_r$	$Ar^{\alpha-1}$	$A \cdot kh(\alpha, \chi, r)$	$-A \frac{\mu\omega}{\chi c} h_\varphi(r)$
$e_\varphi$	$Ar^{\alpha-1}$	$\frac{A}{\alpha}(e_\varphi(r) + r \cdot e'_\varphi(r))$	$A \frac{\mu\omega}{\chi c} h_r(r)$
$e_z$	<b>0</b>	$A \cdot r \cdot e_\varphi(r) \frac{q}{\alpha}$	<b>0</b>
$h_r$	$-e_\varphi(r)$	$A \frac{\varepsilon\omega}{c\chi} e_\varphi(r)$	$-\frac{A}{\alpha}(h_\varphi(r) + r \cdot h'_\varphi(r))$
$h_\varphi$	$-h_r(r)$	$-A \frac{\varepsilon\omega}{c\chi} e_r(r)$	$Akh(\alpha, \chi, r)$
$h_z$	<b>0</b>	<b>0</b>	$Ar \cdot h_\varphi(r)q / \alpha$

### 2.3. Напряженности и потоки энергии

Также, как и в части 1, плотности потоков энергии по координатам определяются по формулам (1.3.1 – 1.3.3). Рассмотрим функции (1.3.2) и  $e_r(r)$ ,  $e_\varphi(r)$ ,  $e_z(r)$ ,  $h_r(r)$ ,  $h_\varphi(r)$ ,  $h_z(r)$ . На рис. 1 показаны, например, графики этих функций при  $A=1$ ,  $\alpha=5.5$ ,  $\mu=1$ ,  $\varepsilon=2$ ,  $\chi=50$ ,  $\omega=300$ . Эти параметры

выбраны такими же, как в части 1 – для сравнения полученных результатов.



## 4. Обсуждение

Дальнейшие выводы аналогичны тем, которые получены в части [1]. Итак, в магнитной цепи синусоидального тока распространяется электромагнитная волна, а математическое описание этой волны является решением уравнений Максвелла. При этом напряженности и поток энергии распространяются в такой цепи по спиральной траектории.

## Приложения.

### Приложение 1.

Рассматривается решение уравнений (2.1-2.8) в виде функций (2.13-2.18). Далее производные по  $r$  будем обозначать штрихами. Перепишем уравнения (2.1-2.8) с учетом (2.11, 2.12) в виде

$$\frac{e_r(r)}{r} + e_r'(r) - \frac{e_\varphi(r)}{r} \alpha - \chi \cdot e_z(r) = 0, \quad (1)$$

$$-\frac{1}{r} \cdot e_z(r) \alpha + e_\varphi(r) \chi - \frac{\mu \omega}{c} h_r = 0, \quad (2)$$

$$e_r(r)\chi - e'_z(r) + \frac{\mu\omega}{c}h_\varphi = 0, \quad (3)$$

$$\frac{e_\varphi(r)}{r} + e'_\varphi(r) - \frac{e_r(r)}{r} \cdot \alpha + \frac{\mu\omega}{c}h_z = 0, \quad (4)$$

$$\frac{h_r(r)}{r} + h'_r(r) + \frac{h_\varphi(r)}{r} \alpha + \chi \cdot h_z(r) = 0, \quad (5)$$

$$\frac{1}{r} \cdot h_z(r)\alpha - h_\varphi(r)\chi - \frac{\varepsilon\omega}{c}e_r = 0, \quad (6)$$

$$-h_r(r)\chi - h'_z(r) + \frac{\varepsilon\omega}{c}e_\varphi = 0, \quad (7)$$

$$\frac{h_\varphi(r)}{r} + h'_\varphi(r) + \frac{h_r(r)}{r} \cdot \alpha + \frac{\varepsilon\omega}{c}e_z(r) = 0. \quad (8)$$

Соответствие между номерами формул в разделе 2 и здесь таково:

Раздел 2	2.1	2.2	2.3	2.4	2.5	2.6	2.7	2.8
Прил. 1	1	5	6	7	8	6	7	8

Далее будут выполняться преобразования формул (1-8). При этом нумерация формул после преобразования будет сохраняться (так удобнее проследить последовательность преобразований) и только новые формулы будут принимать следующий номер.

Примем, что

$$h_z(r) = 0. \quad (9)$$

Из (6, 7) получаем:

$$h_\varphi(r) = -\frac{\varepsilon\omega}{c}e_r(r)\frac{1}{\chi} \quad (6)$$

$$h_r(r) = \frac{\varepsilon\omega}{c}e_\varphi(r)\frac{1}{\chi} \quad (7)$$

Сравним (1, 8):

$$\frac{e_r(r)}{r} + e'_r(r) - \frac{e_\varphi(r)}{r} \alpha - \chi \cdot e_z(r) = 0, \quad (1)$$

$$\frac{h_\varphi(r)}{r} + h'_\varphi(r) + \frac{h_r(r)}{r} \cdot \alpha + \frac{\varepsilon\omega}{c}e_z(r) = 0, \quad (8)$$

Из (6, 7) следует, что (1, 8) совпадают. Тогда (8) можно исключить. Далее сравним (4, 5):

$$\frac{e_\varphi(r)}{r} + e'_\varphi(r) - \frac{e_r(r)}{r} \cdot \alpha = 0, \quad (4)$$



$$\frac{h_r(r)}{r} + h'_r(r) + \frac{h_\varphi(r)}{r} \alpha = 0. \quad (5)$$

Из (6, 7) следует, что (4, 5) совпадают. Тогда (5) можно исключить. Остаются уравнения:

$$\frac{e_r(r)}{r} + e'_r(r) - \frac{e_\varphi(r)}{r} \alpha - \chi \cdot e_z(r) = 0, \quad (1)$$

$$-\frac{1}{r} \cdot e_z(r) \alpha + e_\varphi(r) \chi - \frac{\mu\omega}{c} h_r = 0, \quad (2)$$

$$e_r(r) \chi - e'_z(r) + \frac{\mu\omega}{c} h_\varphi = 0, \quad (3)$$

$$\frac{e_\varphi(r)}{r} + e'_\varphi(r) - \frac{e_r(r)}{r} \cdot \alpha = 0, \quad (4)$$

$$h_\varphi(r) = -\frac{\varepsilon\omega}{c} e_r(r) \frac{1}{\chi}, \quad (6)$$

$$h_r(r) = \frac{\varepsilon\omega}{c} e_\varphi(r) \frac{1}{\chi}. \quad (7)$$

Подставим (6,7) в (2, 3):

$$-\frac{1}{r} \cdot e_z(r) \alpha + e_\varphi(r) \chi - \frac{\mu\omega}{c} \frac{\varepsilon\omega}{c} e_\varphi(r) \frac{1}{\chi} = 0, \quad (2)$$

$$e_r(r) \chi - e'_z(r) - \frac{\mu\omega}{c} \frac{\varepsilon\omega}{c} e_r(r) \frac{1}{\chi} = 0, \quad (3)$$

или

$$\frac{\alpha}{r} \cdot e_z(r) = e_\varphi(r) \left( \chi - \frac{\mu\omega}{c} \frac{\varepsilon\omega}{c} \frac{1}{\chi} \right) \quad (2)$$

$$e'_z(r) = e_r(r) \left( \chi - \frac{\mu\omega}{c} \frac{\varepsilon\omega}{c} \frac{1}{\chi} \right) \quad (3)$$

Остались следующие уравнения:

$$\frac{e_r(r)}{r} + e'_r(r) - \frac{e_\varphi(r)}{r} \alpha - \chi \cdot e_z(r) = 0, \quad (1)$$

$$\frac{\alpha}{r} \cdot e_z(r) = e_\varphi(r) \left( \chi - \frac{\mu\omega}{c} \frac{\varepsilon\omega}{c} \frac{1}{\chi} \right) \quad (2)$$

$$e'_z(r) = e_r(r) \left( \chi - \frac{\mu\omega}{c} \frac{\varepsilon\omega}{c} \frac{1}{\chi} \right) \quad (3)$$

$$\frac{e_\varphi(r)}{r} + e'_\varphi(r) - \frac{e_r(r)}{r} \cdot \alpha = 0, \quad (4)$$

$$h_\varphi(r) = -\frac{\varepsilon\omega}{c} e_r(r) \frac{1}{\chi}, \quad (6)$$

$$h_r(r) = \frac{\varepsilon\omega}{c} e_\varphi(r) \frac{1}{\chi}. \quad (7)$$

Обозначим:

$$q = \left( \chi - \frac{\mu\omega}{c} \frac{\varepsilon\omega}{c} \frac{1}{\chi} \right) \quad (11)$$

Из (1, 2, 11) находим:

$$\frac{e_r(r)}{r} + e'_r(r) - \frac{e_\varphi(r)}{r} \alpha - \chi r \cdot e_\varphi(r) q / \alpha = 0, \quad (12)$$

Из (4) находим:

$$e_r(r) = \frac{1}{\alpha} (e_\varphi(r) + r \cdot e'_\varphi(r)) \quad (13)$$

$$e'_r(r) = \frac{1}{\alpha} (2e'_\varphi(r) + r \cdot e''_\varphi(r)) \quad (14)$$

Из (12-14) находим:

$$\frac{1}{\alpha} \left( \frac{e_\varphi(r)}{r} + e'_\varphi(r) \right) + \frac{1}{\alpha} (2e'_\varphi(r) + r \cdot e''_\varphi(r)) - \frac{e_\varphi(r)}{r} \alpha - \frac{q\chi}{\alpha} r \cdot e_\varphi(r) = 0 \quad (15)$$

Решение и анализ этого уравнения дано в приложении 2. Полученное там решение не имеет аналитического выражения. Назовем это решение функцией

$$e_\varphi(r) = \text{kh}(\alpha, \chi, r), \quad (16)$$

а ее производную – функцией

$$e'_\varphi(r) = \text{kh1}(\alpha, \chi, r). \quad (17)$$

При известных функциях (16, 17) могут быть найдены остальные функции. Итак, для определения всех функций имеем уравнения:

$$h_z(r) \equiv 0, \quad (9)$$

$$e_\varphi(r) = \text{kh}(\alpha, \chi, r), \quad (16)$$

$$e'_\varphi(r) = \text{kh1}(\alpha, \chi, r), \quad (17)$$

$$e_r(r) = \frac{1}{\alpha} (e_\varphi(r) + r \cdot e'_\varphi(r)), \quad (13)$$

$$e'_r(r) = \frac{1}{\alpha} (2e'_\varphi(r) + r \cdot e''_\varphi(r)), \quad (14)$$

$$e_z(r) = r \cdot e_\varphi(r) \frac{q}{\alpha}, \quad (2)$$

$$e'_z(r) = e_r(r)q, \quad (3)$$

$$h_\varphi(r) = -\frac{\varepsilon\omega}{c} e_r(r) \frac{1}{\chi}, \quad (6)$$

$$h_r(r) = \frac{\varepsilon\omega}{c} e_\varphi(r) \frac{1}{\chi}. \quad (7)$$

Точность полученного решения анализируется в приложении 3.

## Приложение 2.

Рассмотрим уравнение (15) из приложения 1:

$$\frac{1}{\alpha} \left( \frac{e_\varphi(r)}{r} + e'_\varphi(r) \right) + \frac{1}{\alpha} (2e'_\varphi(r) + r \cdot e''_\varphi(r)) - \frac{e_\varphi(r)}{r} \alpha - \frac{q\chi}{\alpha} r \cdot e_\varphi(r) = 0. \quad (1)$$

Упрощая его, получаем:

$$\left( \frac{e_\varphi(r)}{r} + e'_\varphi(r) \right) + (2e'_\varphi(r) + r \cdot e''_\varphi(r)) - \frac{e_\varphi(r)}{r} \alpha^2 - q\chi r \cdot e_\varphi(r) = 0$$

$$e_\varphi(r) \left( \frac{-\alpha^2 + 1}{r} - q\chi r \right) + 3e'_\varphi(r) + r \cdot e''_\varphi(r) = 0,$$

$$e''_\varphi(r) = e_\varphi(r) \left( \frac{\alpha^2 - 1}{r^2} + q\chi \right) - \frac{3}{r} e'_\varphi(r). \quad (2)$$

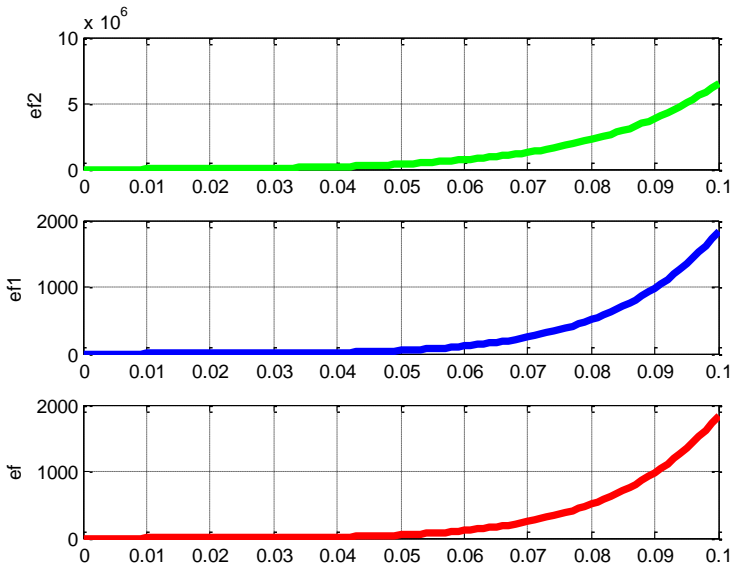


Fig.2. (SSMB6.13)

---

Уравнение (2) не имеет аналитического решения. Но численно можно найти функции

$$e_{\varphi}(r) = kh(\alpha, \chi, r) \quad (3)$$

$$e'_{\varphi}(r) = kh1(\alpha, \chi, r) \quad (4)$$

$$e''_{\varphi}(r) = kh2(\alpha, \chi, r) \quad (5)$$

Для примера на рис. 2 показаны эти функции при  $(\alpha = 5.5, \chi = 50)$  на радиусе  $R = 0.1$ .

### Приложение 3.

Подставляя найденные в приложении 1 функции в уравнения (1-8) можно найти среднеквадратичную невязку этих уравнений. На рис. 3 показан график этой невязки при  $(\alpha = 5.5, \chi = 50)$  на радиусе  $R = 0.1$ .

Можно найти среднеквадратичную невязку этих уравнений, как функцию какого-либо параметра. На рис. 4 показан график невязки в зависимости от  $\alpha$  при  $\chi = 50$  на радиусе  $R = 0.1$ . Здесь в верхнем окне показано значение невязки, а в нижнем окне — значение логарифма невязки.

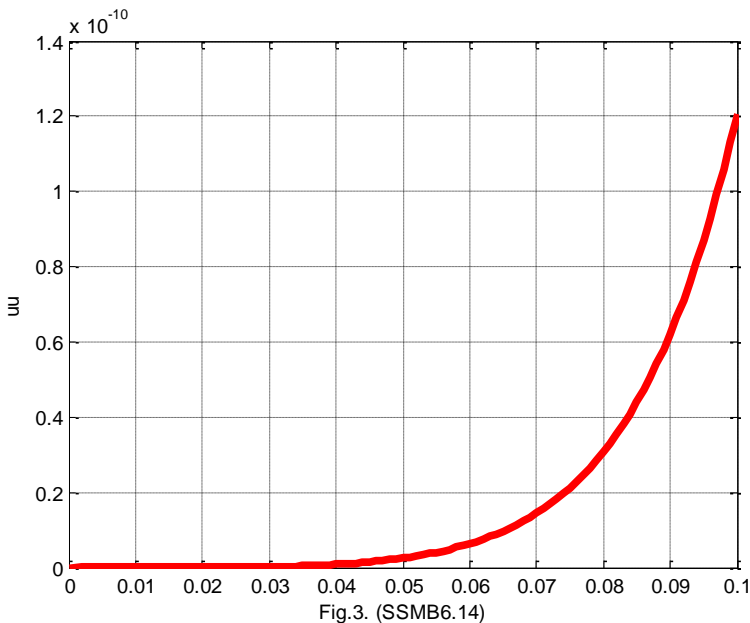


Fig.3. (SSMB6.14)

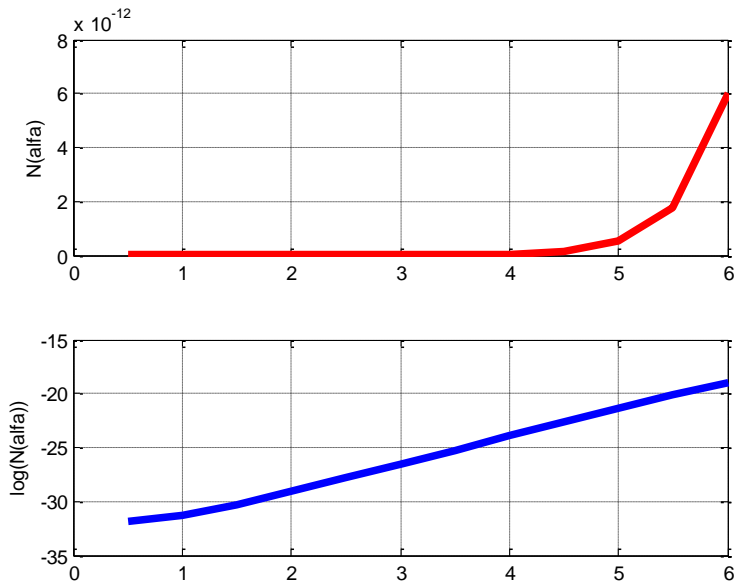


Fig.4. (SSMB6.333)

## Литература

1. Хмельник С.И. Второе решение уравнений Максвелла, Vixra Funding, <http://vixra.org/funding>, 2016-01-26, <http://vixra.org/abs/1601.0292>; Доклады независимых авторов, ISSN 2225-6717, <http://dna.izdatelstwo.com/>, № 35, 2016 - см. [здесь](#).